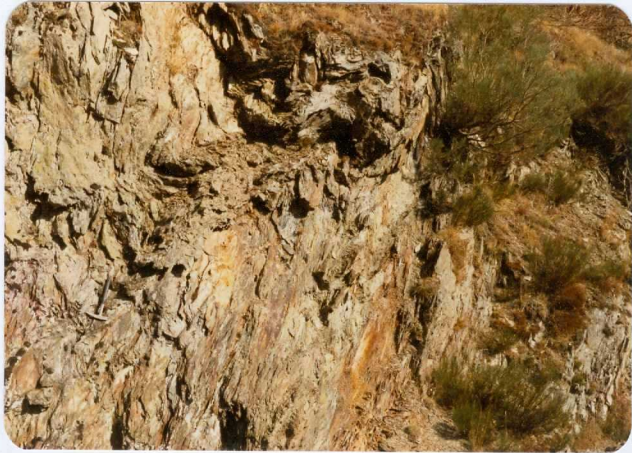




11-07-AD-DN-300.— Cuarcitas y pizarras del Precámbrico (PC). Pliegue de 1<sup>a</sup> fase de la deformación hercínica, su plano axial coincide con la esquistosidad de flujo ( $S_1$ ) que afecta a toda el área.



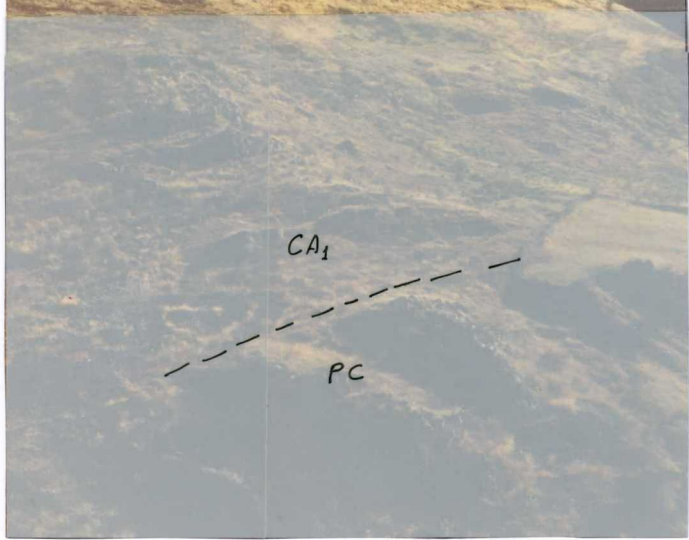
11-07-AD-DN-301.- Pizarras del Precámbrico (PC). La esquistosidad de flujo aparece intensamente deformada.



11-07-AD-DN-302.- Pizarras verdes del Precámbrico (PC).



11-07-AD-DN-303.- Contacto de las pizarras precámbricas (PC) con las areniscas de Herrería (CA<sub>1</sub>).



11-07-AD-DN-303.- Contacto de las pizarras precámbricas (PC) con las areniscas de Herrería (CA<sub>1</sub>).



11-07-AD-DN-304.- Microconglomerados, areniscas y pizarras de la base de la Formación Cándana (CA<sub>1</sub> cg).





11-07-AD-DN-305.- Areniscas con estratificación cruzada de bajo ángulo. Formación Cándana (CA<sub>1</sub> cg).



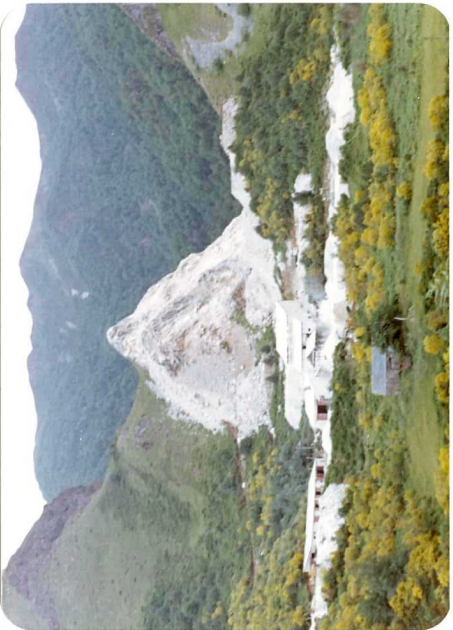


11-07-AD-DN-306.- Dolomía de Cándana (CA<sub>1</sub> M).





11-07-AD-DN-307.- Aspecto de las calizas de la Formación Vegadeo  
(CA<sub>1-2</sub> M).



11-07-AD-DN-308.- Cantera de mármol en la Formación Vegadeo (CA<sub>1-2</sub> M).



11-07-AD-DN-309.—Cuarcitas de la serie de los Cabos (CA<sub>2</sub>-O<sub>1</sub> p) con estratificación cruzada y laminación cruzada plano-paralela.



11-07-AD-DN-310.- Cuarcita de la serie de los Cabos (CA<sub>2</sub>-O<sub>1</sub> p) con laminación cruzada sigmoidal y plano-paralela, estratificación cruzada de bajo ángulo y "herring bone".



11-07-AD-DN-311.- Icnofosil del Ordovícico en la serie de los Cabos.

11-07-AD-DN-312.- Metadiabasas ( $\epsilon_1$ ) interestratificadas en la parte inferior de las Pizarras de Luarca.





11-07-AD-DN-313.- Pizarras de Luarca ( $O_2$ ). Obsérvese la estratificación ( $S_0$ ) formando un amplio pliegue, cuyo plano axial coincide con la esquistosidad de flujo ( $S_1$ ).



11-07-AD-DN-314.- Conglomerado de la Formación Herrería (CA<sub>1</sub>).



11-07-AD-DN-315.- Aspecto del miembro inferior de las Calizas de Láncara (CA<sub>1-2</sub>).



11-07-AD-DN-316.- Cuarcitas blancas de la Formación Barrios ( $O_{12}$ ).



11-07-AD-DN-317.- Pizarras negras (S<sub>12-11</sub><sup>A-B</sup>) de Formigoso.



11-07-AD-DN-318.- Areniscas ferruginosas de S. Pedro (S<sub>12</sub><sup>B</sup>-D<sub>11</sub>).



11-07-AD-DN-319.- Caliza margosa rojiza, con abundantes braquiópodos, es-tromatopóridos y crinoideos de la Formación La Vid (D<sup>1-3</sup><sub>11-13</sub>).



1-07-AD-DN-320.- Devónico del Manto de Somiedo, en la carretera de Vega de los Viejos a Quejo. Al fondo caliza de Sta. Lucia ( $D_{13-12}^{3-1}$ ) formando el sinclinal y anticlinal de Quejo.

11-07-AD-DN-321.- Aspecto de las pizarras y areniscas de la Formación Huer-  
gas (D<sub>21-22</sub><sup>1-3</sup>).





11-07-AD-DN-322.- Calizas de la Formación Portilla ( $D_{22-31}^{3-1}$ ).



11-07-AD-DN-323.- Aspecto de las cuarcitas del Devónico superior ( $D_31-32^2$ ).



11-07-AD-DN-324.- Calizas nodulosas rojas. Formación Alba ( $H_{11-1}^{A-Ba}$ ).



11-07-AD-DN-325.- Aspecto típico de la Caliza de Barcaliente ( $H_{1-1}^{Ba-Bb}$ ). Negra y tableada.



11-07-AD-DN-326.- Pliegue "chevron" en la Caliza de Barcaliente del sinclinal de Vega de los Viejos.



11-07-AD-DN-327.- Aspecto de la Formación S. Emiliano ( $H_{33-34}^{B-B}$ ). Pizarras y areniscas.



11-07-AD-DN-328.- Conglomerado basal del Estefaniense ( $H_{33-34}^{B-B}$  cg).



11-07-AD-DN-329.- Restos vegetales (Calamites) en las areniscas del Estefaniense ( $H_{33-34}^{B-B}$ ).

1-07-AD-DN-330.- Areniscas del Estefaniense ( $H_{22}^{B-B} 34$ ).





1-07-AD-DN-331.- Aspecto del Estefaniense, en Caboalles de Arriba.



1-07-AD-DN-332.- Discordancia del Estefaniense (a la derecha) sobre la Caliza de Barcaliente (a la izquierda), buzan ambos en sentidos opuestos.



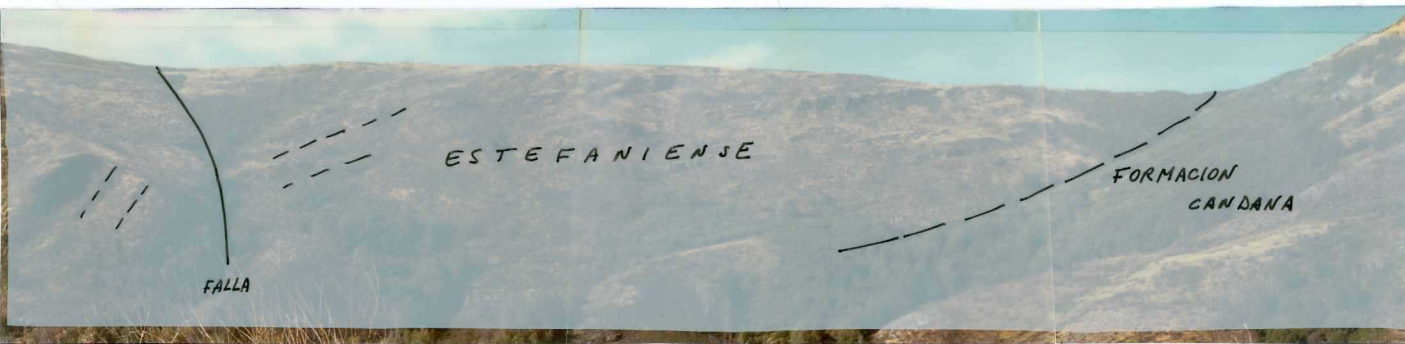
11-07-AD-DN-332.- Discordancia del Estefaniense (a la derecha) sobre la Caliza de Barcaliente (a la izquierda), buzan ambos en sentidos opuestos.



11-07-AD-DN-333.- Discordancia del conglomerado basal estefaniense, sobre las cuarcitas del Devónico superior.



11-07-AD-AN-334.- Discordancia del Estefaniense sobre el Cámbrico de la Formación Cándana, en el puerto de Leitariegos.



11-07-AD-AN-334.- Discordancia del Estefaniense sobre el Cámbrico de la Formación Cándana, en el puerto de Leitariegos.



11-07-AD-AN-335.- En primer término: Estefaniense (Anticlinal de Villaseca). Al fondo el Muxivén (2.032 m) formado por Cuarcitas de Barrios.



11-07-AD-DN-336.- Aspecto de los conglomerados y arenas pliocuaternarios ( $T_2^B - Q_1$ ).



11-07-AD-DN-337.- Depósitos morrénicos ( $Q_1 M_6$ ) en las proximidades de Piedrafita de Babia.



1-07-AD-DN-338.- Derrubios de ladera ( $Q^2 L$ ) con elevado ángulo de deposición.